

Ein und Ausgabe: Farbmetrisches Drucker-Reflektiv-System FRS12\_95a, L\*=20\_95 für relative CIELAB-Buntton  $h^* = lab^*h^* = h_{ab}/360 = 0.395$   $u^*_d = 100c$

Daten für jede Farbe:

$lab^*tch^*$  und  $lab^*icu^*$

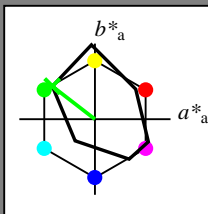
Buntkontexte:

$u^*_d = 100c$   $u^*_e = j71g$

Kontrastreduzierungsfaktor:

$c_R = 0.9$

Dreiecks-Helligkeit  $i^*$



FRS12\_95a; adaptierte CIELAB-Daten

	$u^*_d$	$L^*=L^*_a$	$a^*_a$	$b^*_a$	$C^*_{ab,a}$	$h^*_{ab,a}$
OMa	43.8	53.91	39.75	66.98	36	
YMa	87.58	-4.65	98.29	98.4	93	
LMa	51.95	-56.34	43.53	71.2	142	
CMa	59.62	-26.2	-28.62	38.8	228	
VMa	25.01	45.2	-52.8	69.51	311	
MMa	45.88	70.67	-29.93	76.75	337	
NMa	20.0	0.0	0.0	0.0	0	
WMa	95.0	0.0	0.0	0.0	0	
O <sub>Ma</sub>	39.92	58.74	27.99	65.07	25	
Y <sub>Ma</sub>	81.26	-2.89	71.56	71.62	92	
L <sub>Ma</sub>	52.23	-42.42	13.6	44.55	162	
V <sub>Ma</sub>	30.57	1.41	-46.47	46.49	272	

Daten für Maximalfarbe (Ma):

$LAB^*LAB^*_{Ma}$ : 52 -56 44

$LAB^*LCH^*_{Ma}$ : 52 71 142

$lab^*olv^*_{Ma}$ : 0.0 1.0 0.0

$lab^*rgb^*_{Ma}$ : 0.28 1.0 0.0

Dreiecks-Helligkeit  $i^*$

%Umfang

$u^*_{rel} = 88$

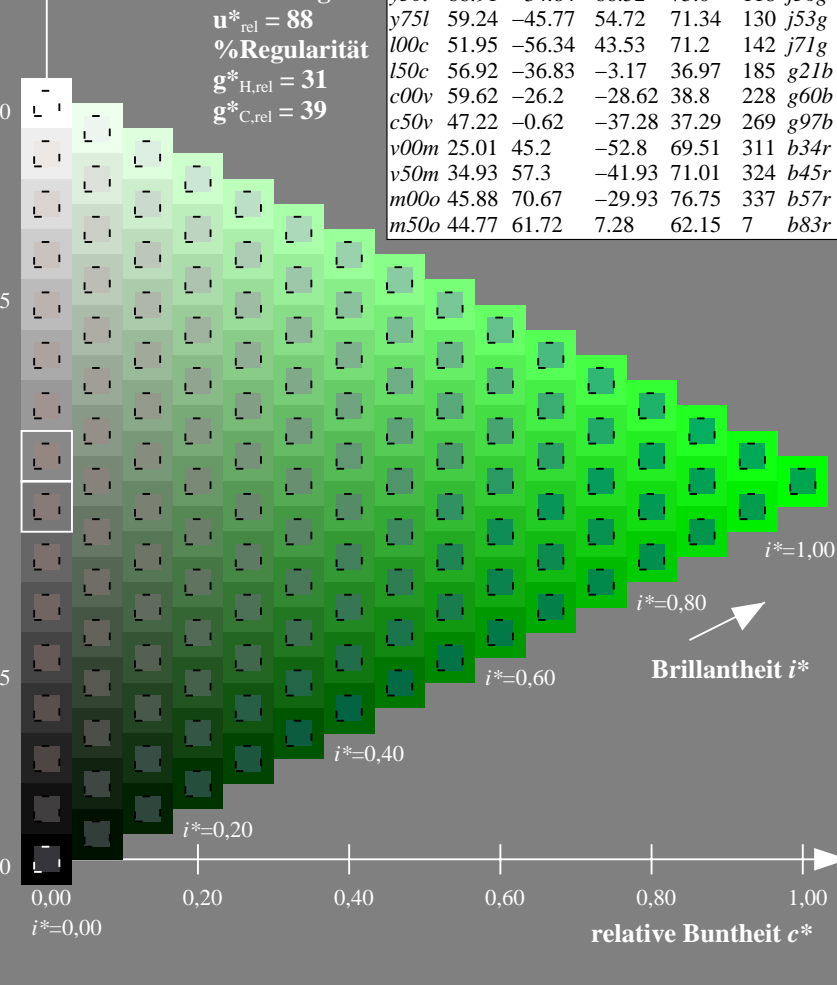
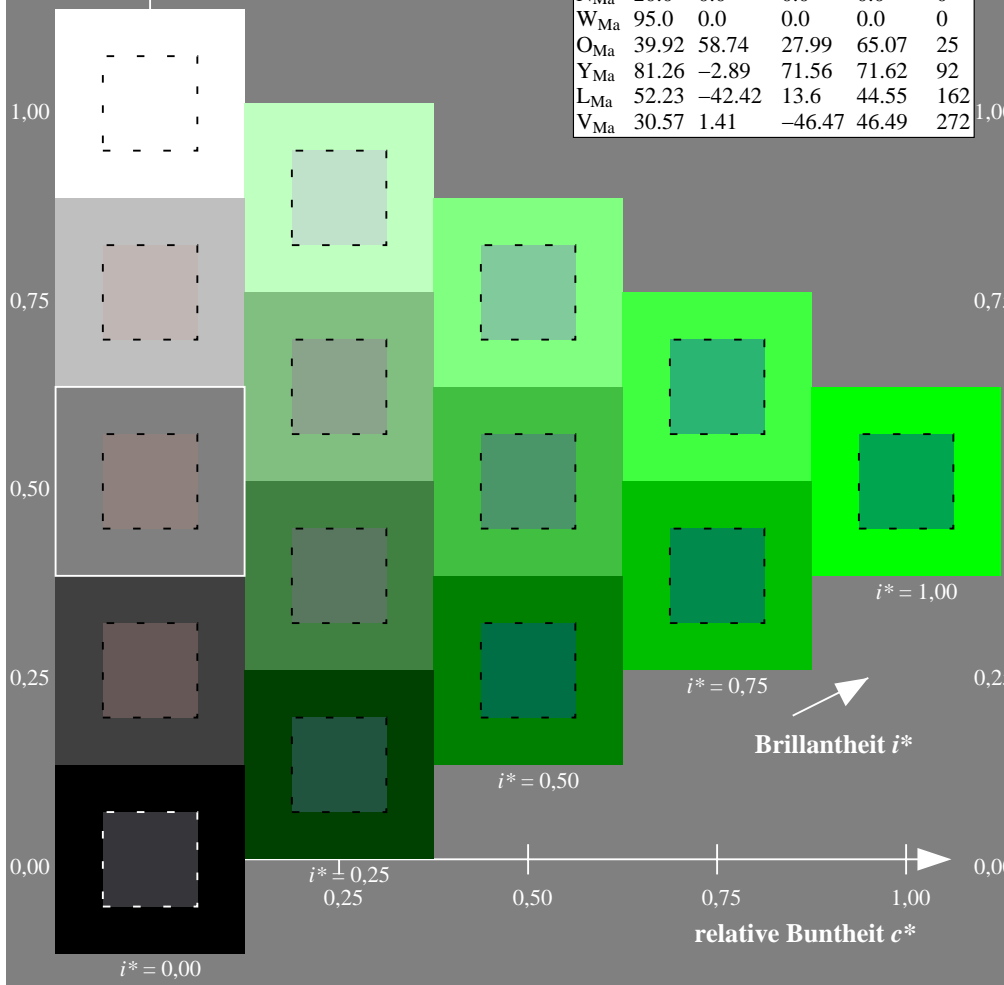
%Regularität

$g^*_{H,rel} = 31$

$g^*_{C,rel} = 39$

FRS12\_95a; adaptierte CIELAB-Daten

	$u^*_d$	$L^*=L^*_a$	$a^*_a$	$b^*_a$	$C^*_{ab,a}$	$h^*_{ab,a}$	$u^*_e$
<i>o00y</i>	43.8	53.91	39.75	66.98	36		<i>r16j</i>
<i>o25y</i>	52.46	42.34	51.32	66.53	50		<i>r37j</i>
<i>o50y</i>	61.53	30.2	63.46	70.28	65		<i>r58j</i>
<i>o75y</i>	72.39	15.68	77.97	79.53	79		<i>r79j</i>
<i>y00l</i>	87.58	-4.65	98.29	98.4	93		<i>j01g</i>
<i>y25l</i>	75.85	-21.67	80.26	83.13	105		<i>j18g</i>
<i>y50l</i>	66.91	-34.64	66.52	75.0	118		<i>j36g</i>
<i>y75l</i>	59.24	-45.77	54.72	71.34	130		<i>j53g</i>
<i>l00c</i>	51.95	-56.34	43.53	71.2	142		<i>j71g</i>
<i>l50c</i>	56.92	-36.83	-3.17	36.97	185		<i>g21b</i>
<i>c00v</i>	59.62	-26.2	-28.62	38.8	228		<i>g60b</i>
<i>c50v</i>	47.22	-0.62	-37.28	37.29	269		<i>g97b</i>
<i>v00m</i>	25.01	45.2	-52.8	69.51	311		<i>b34r</i>
<i>v50m</i>	34.93	57.3	-41.93	71.01	324		<i>b45r</i>
<i>m00o</i>	45.88	70.67	-29.93	76.75	337		<i>b57r</i>
<i>m50o</i>	44.77	61.72	7.28	62.15	7		<i>b83r</i>



Siehe ähnliche Dateien: <http://www.ps.bam.de/Fg77/>; [www.ps.bam.de/Fg77/10L/L77g00NP.PDF/](http://www.ps.bam.de/Fg77/10L/L77g00NP.PDF/).PS  
 Technische Information: <http://www.ps.bam.de> Version 2.1, io=1,1, ColSpx=0

BAM-Registrierung: 20081001-Fg77/10L/L77g00NP.PDF/ .PS BAM-Material: Code=rhatha  
 Anwendung für Beurteilung und Messung von Drucker- oder Monitorssystemen

Ein und Ausgabe: Farbmetrisches Drucker-Reflektiv-System FRS12\_95a, L\*=20\_95 für relative CIELAB-Buntton  $h^* = lab^*h^* = h_{ab}/360 = 0.395$   $u^*_d = 100c$

Daten für jede Farbe:

$lab^*ch^*$  und  $lab^*icu^*$

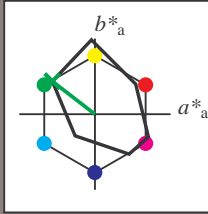
Bunttontexte:

$u^*_d = 100c$   $u^*_e = j71g$

Kontrastreduzierungsfaktor:

$c_R = 0.9$

Dreiecks-Helligkeit  $i^*$



FRS12\_95a; adaptierte CIELAB-Daten

	$u^*_d$	$L^*=L^*_a$	$a^*_a$	$b^*_a$	$C^*_{ab,a}$	$h^*_{ab,a}$
O <sub>Ma</sub>	43.8	53.91	39.75	66.98	36	
Y <sub>Ma</sub>	87.58	-4.65	98.29	98.4	93	
L <sub>Ma</sub>	51.95	-56.34	43.53	71.2	142	
C <sub>Ma</sub>	59.62	-26.2	-28.62	38.8	228	
V <sub>Ma</sub>	25.01	45.2	-52.8	69.51	311	
M <sub>Ma</sub>	45.88	70.67	-29.93	76.75	337	
N <sub>Ma</sub>	20.0	0.0	0.0	0.0	0	
W <sub>Ma</sub>	95.0	0.0	0.0	0.0	0	
O <sub>Ma</sub>	39.92	58.74	27.99	65.07	25	
Y <sub>Ma</sub>	81.26	-2.89	71.56	71.62	92	
L <sub>Ma</sub>	52.23	-42.42	13.6	44.55	162	
V <sub>Ma</sub>	30.57	1.41	-46.47	46.49	272	

Daten für Maximalfarbe (Ma):

$LAB^*LAB^*_{Ma}$ : 52 -56 44

$LAB^*LCH^*_{Ma}$ : 52 71 142

$lab^*olv^*_{Ma}$ : 0.0 1.0 0.0

$lab^*rgb^*_{Ma}$ : 0.28 1.0 0.0

Dreiecks-Helligkeit  $i^*$

%Umfang

$u^*_{rel} = 88$

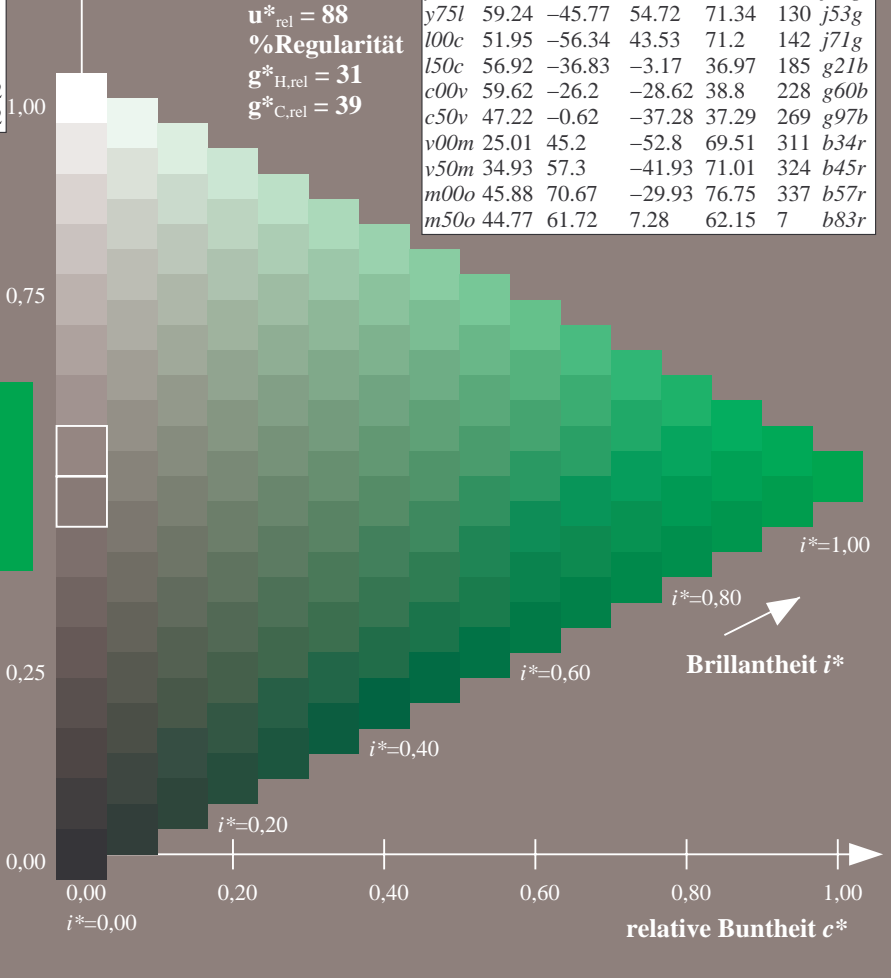
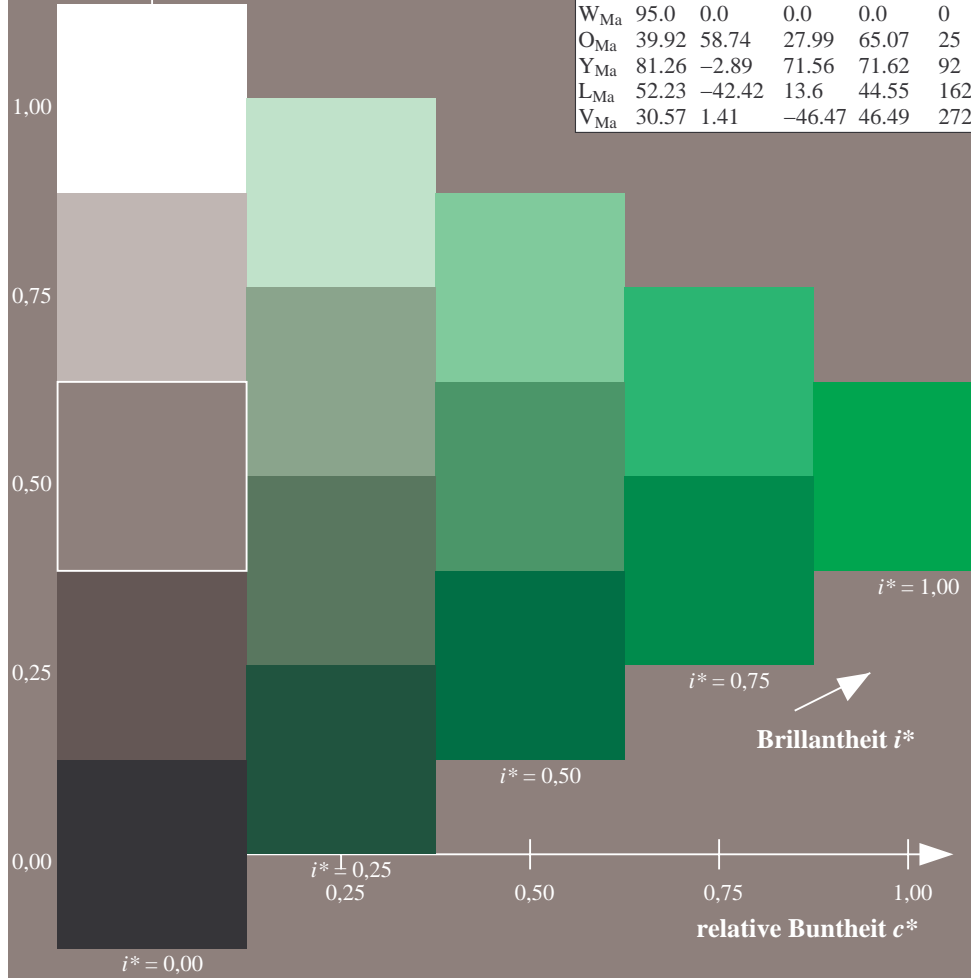
%Regularität

$g^*_{H,rel} = 31$

$g^*_{C,rel} = 39$

FRS12\_95a; adaptierte CIELAB-Daten

	$u^*_d$	$L^*=L^*_a$	$a^*_a$	$b^*_a$	$C^*_{ab,a}$	$h^*_{ab,a}$	$u^*_e$
o00y	43.8	53.91	39.75	66.98	36		r16j
o25y	52.46	42.34	51.32	66.53	50		r37j
o50y	61.53	30.2	63.46	70.28	65		r58j
o75y	72.39	15.68	77.97	79.53	79		r79j
y00l	87.58	-4.65	98.29	98.4	93		j01g
y25l	75.85	-21.67	80.26	83.13	105		j18g
y50l	66.91	-34.64	66.52	75.0	118		j36g
y75l	59.24	-45.77	54.72	71.34	130		j53g
l00c	51.95	-56.34	43.53	71.2	142		j71g
l50c	56.92	-36.83	-3.17	36.97	185		g21b
c00v	59.62	-26.2	-28.62	38.8	228		g60b
c50v	47.22	-0.62	-37.28	37.29	269		g97b
v00m	25.01	45.2	-52.8	69.51	311		b34r
v50m	34.93	57.3	-41.93	71.01	324		b45r
m00o	45.88	70.67	-29.93	76.75	337		b57r
m50o	44.77	61.72	7.28	62.15	7		b83r

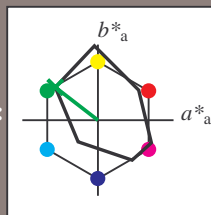


Siehe ähnliche Dateien: <http://www.ps.bam.de/Fg77/>; [www.ps.bam.de/Fg77/HTM](http://www.ps.bam.de/Fg77/HTM)  
 Technische Information: <http://www.ps.bam.de> Version 2.1, io=1,1, ColSpx=0

BAM-Registrierung: 20081001-Fg77/10L/L77g00NP.PDF/ .PS BAM-Material: Code=rhatha  
 Anwendung für Beurteilung und Messung von Drucker- oder Monitorssystemen

Ein und Ausgabe: Farbmetrisches Drucker-Reflektiv-System FRS12\_95a, L\*=20\_95 für relative CIELAB-Buntton  $h^* = lab^*h^* = h_{ab}/360 = 0.395$   $u^*_d = 100c$   
 $lab^*olv^*$

Daten für jede Farbe:  
 $lab^*tch^*$  und  $lab^*icu^*$   
 Bunttontexte:  
 $u^*_d = 100c$   $u^*_e = j71g$   
 Kontrastreduzierungsfaktor:  
 $c_R = 0.9$   
 Dreiecks-Helligkeit  $i^*$



FRS12\_95a; adaptierte CIELAB-Daten

	$u^*_d$	$L^*=L^*_a$	$a^*_a$	$b^*_a$	$C^*_{ab,a}$	$h^*_{ab,a}$
O <sub>Ma</sub>	43.8	53.91	39.75	66.98	36	
Y <sub>Ma</sub>	87.58	-4.65	98.29	98.4	93	
L <sub>Ma</sub>	51.95	-56.34	43.53	71.2	142	
C <sub>Ma</sub>	59.62	-26.2	-28.62	38.8	228	
V <sub>Ma</sub>	25.01	45.2	-52.8	69.51	311	
M <sub>Ma</sub>	45.88	70.67	-29.93	76.75	337	
N <sub>Ma</sub>	20.0	0.0	0.0	0.0	0	
W <sub>Ma</sub>	95.0	0.0	0.0	0.0	0	
O <sub>Ma</sub>	39.92	58.74	27.99	65.07	25	
Y <sub>Ma</sub>	81.26	-2.89	71.56	71.62	92	
L <sub>Ma</sub>	52.23	-42.42	13.6	44.55	162	
V <sub>Ma</sub>	30.57	1.41	-46.47	46.49	272	

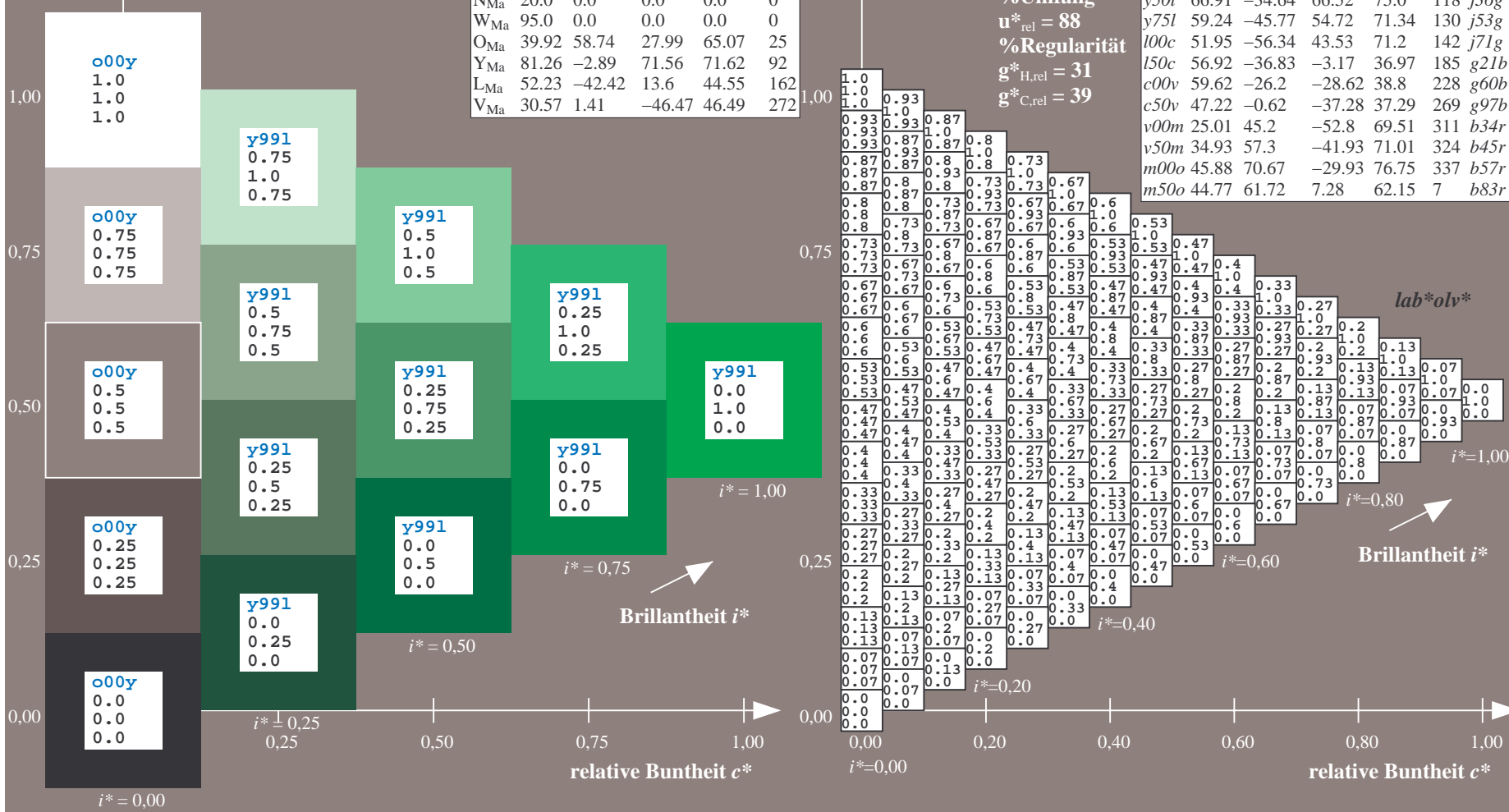
Daten für Maximalfarbe (Ma):

$LAB^*LAB^*_{Ma}$ : 52 -56 44  
 $LAB^*LCH^*_{Ma}$ : 52 71 142  
 $lab^*olv^*_{Ma}$ : 0.0 1.0 0.0  
 $lab^*rgb^*_{Ma}$ : 0.28 1.0 0.0

FRS12\_95a; adaptierte CIELAB-Daten

	$u^*_d$	$L^*=L^*_a$	$a^*_a$	$b^*_a$	$C^*_{ab,a}$	$h^*_{ab,a}$	$u^*_e$
o00y	43.8	53.91	39.75	66.98	36		r16j
o25y	52.46	42.34	51.32	66.53	60		r37j
o50y	61.53	30.2	63.46	70.28	55		r58j
o75y	72.39	15.68	77.97	79.53	79		r79j
y00l	87.58	-4.65	98.29	98.4	93		j01g
y25l	75.85	-21.67	80.26	83.13	105		j18g
y50l	66.91	-34.64	66.52	75.0	118		j36g
y75l	59.24	-45.77	54.72	71.34	130		j53g
100c	51.95	-56.34	43.53	71.2	142		j71g
l50c	56.92	-36.83	-3.17	36.97	185		g21b
c00v	59.62	-26.2	-28.62	38.8	228		g60b
c50v	47.22	-0.62	-37.28	37.29	269		g97b
v00m	25.01	45.2	-52.8	69.51	311		b34r
v50m	34.93	57.3	-41.93	71.01	324		b45r
m00o	45.88	70.67	-29.93	76.75	337		b57r
m50o	44.77	61.72	7.28	62.15	7		b83r

Dreiecks-Helligkeit  $i^*$   
 %Umfang  
 $u^*_{rel} = 88$   
 %Regularität  
 $g^*_{H,rel} = 31$   
 $g^*_{C,rel} = 39$

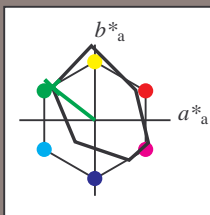


Siehe ähnliche Dateien: <http://www.ps.bam.de/Fg77/>; [www.ps.bam.de/Fg77g00NP.PDF/](http://www.ps.bam.de/Fg77g00NP.PDF/).PS  
 Technische Information: <http://www.ps.bam.de/Version2.1,io=1,1,Colspx=0>

BAM-Registrierung: 20081001-Fg77/10L/L77g00NP.PDF/.PS BAM-Material: Code=rh4ta  
 Anwendung für Beurteilung und Messung von Drucker- oder Monitorssystemen

Ein und Ausgabe: Farbmetrisches Drucker-Reflektiv-System FRS12\_95a, L\*=20\_95 für relativen CIELAB-Buntton  $h^* = lab^*h^* = h_{ab}/360 = 0.395$   $u^*_d = 100c$   
 $lab^*rgb^*$

Daten für jede Farbe:  
 $lab^*tch^*$  und  $lab^*icu^*$   
 Bunttontexte:  
 $u^*_d = 100c$   $u^*_e = j71g$   
 Kontrastreduzierungsfaktor:  
 $c_R = 0.9$   
 Dreiecks-Helligkeit  $i^*$



FRS12\_95a; adaptierte CIELAB-Daten

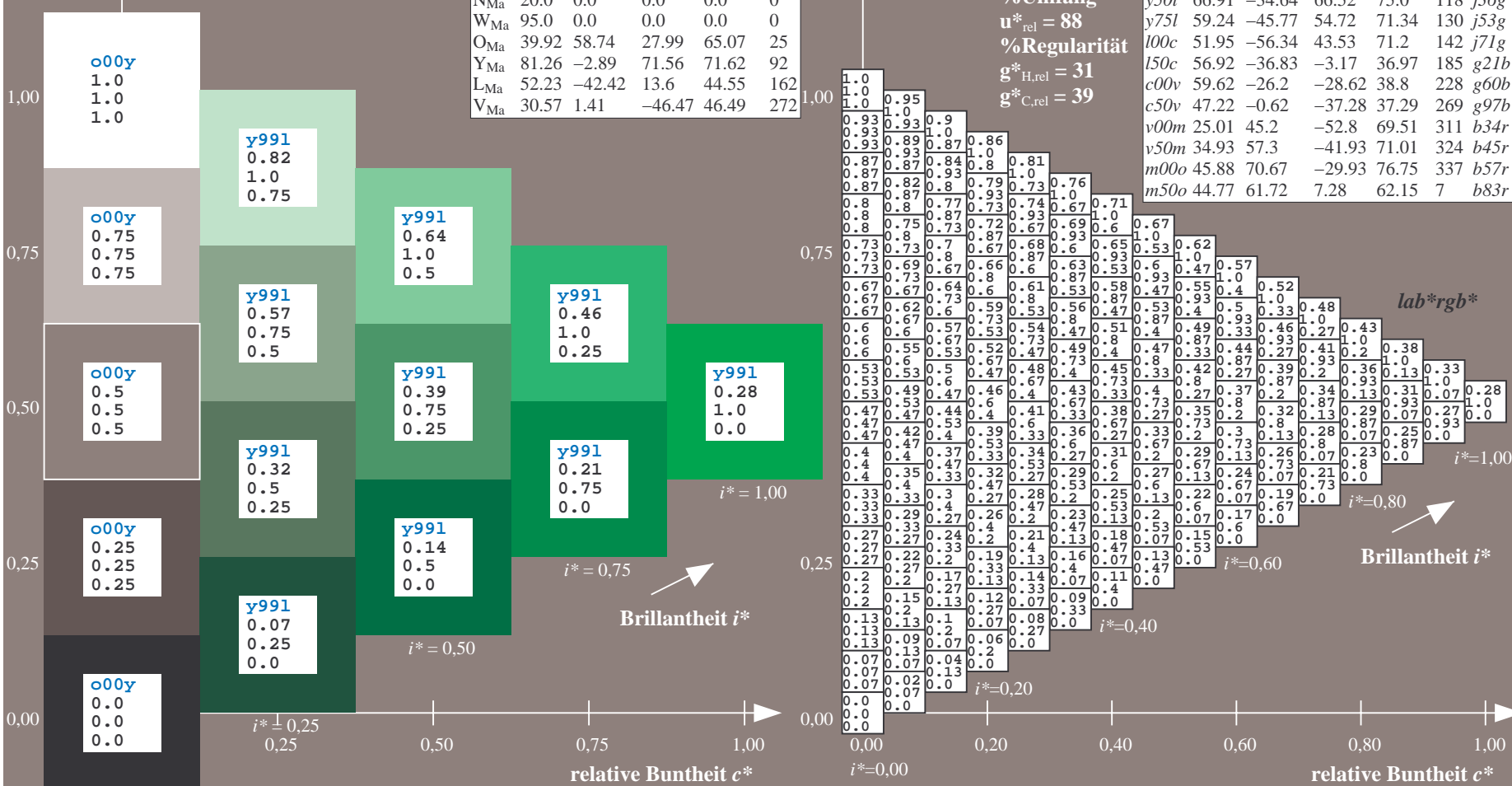
	$u^*_d$	$L^*=L^*_a$	$a^*_a$	$b^*_a$	$C^*_{ab,a}$	$h^*_{ab,a}$
O <sub>Ma</sub>	43.8	53.91	39.75	66.98	36	
Y <sub>Ma</sub>	87.58	-4.65	98.29	98.4	93	
L <sub>Ma</sub>	51.95	-56.34	43.53	71.2	142	
C <sub>Ma</sub>	59.62	-26.2	-28.62	38.8	228	
V <sub>Ma</sub>	25.01	45.2	-52.8	69.51	311	
M <sub>Ma</sub>	45.88	70.67	-29.93	76.75	337	
N <sub>Ma</sub>	20.0	0.0	0.0	0.0	0	
W <sub>Ma</sub>	95.0	0.0	0.0	0.0	0	
O <sub>Ma</sub>	39.92	58.74	27.99	65.07	25	
Y <sub>Ma</sub>	81.26	-2.89	71.56	71.62	92	
L <sub>Ma</sub>	52.23	-42.42	13.6	44.55	162	
V <sub>Ma</sub>	30.57	1.41	-46.47	46.49	272	

Daten für Maximalfarbe (Ma):  
 $LAB^*LAB^*_Ma$ : 52 -56 44  
 $LAB^*LCH^*_Ma$ : 52 71 142  
 $lab^*olv^*_Ma$ : 0.0 1.0 0.0  
 $lab^*rgb^*_Ma$ : 0.28 1.0 0.0  
 Dreiecks-Helligkeit  $i^*$

FRS12\_95a; adaptierte CIELAB-Daten

	$u^*_d$	$L^*=L^*_a$	$a^*_a$	$b^*_a$	$C^*_{ab,a}$	$h^*_{ab,a}$	$u^*_e$
o00y	43.8	53.91	39.75	66.98	36		r16j
o25y	52.46	42.34	51.32	66.53	60		r37j
o50y	61.53	30.2	63.46	70.28	55		r58j
o75y	72.39	15.68	77.97	79.53	79		r79j
y00l	87.58	-4.65	98.29	98.4	93		j01g
y25l	75.85	-21.67	80.26	83.13	105		j18g
y50l	66.91	-34.64	66.52	75.0	118		j36g
y75l	59.24	-45.77	54.72	71.34	130		j53g
l00c	51.95	-56.34	43.53	71.2	142		j71g
l50c	56.92	-36.83	-3.17	36.97	185		g21b
c00v	59.62	-26.2	-28.62	38.8	228		g60b
c50v	47.22	-0.62	-37.28	37.29	269		g97b
v00m	25.01	45.2	-52.8	69.51	311		b34r
v50m	34.93	57.3	-41.93	71.01	324		b45r
m00o	45.88	70.67	-29.93	76.75	337		b57r
m50o	44.77	61.72	7.28	62.15	7		b83r

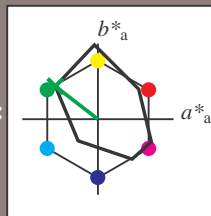
%Umfang  
 $u^*_{rel} = 88$   
 %Regularität  
 $g^*_{H,rel} = 31$   
 $g^*_{C,rel} = 39$



Siehe ähnliche Dateien: <http://www.ps.bam.de/Fg77/>; [www.ps.bam.de/Fg77/10L/L77g00NP.PDF/](http://www.ps.bam.de/Fg77/10L/L77g00NP.PDF/). PS  
 Technische Information: <http://www.ps.bam.de/Version2.1,io=1,1,Colspx=0>

BAM-Registrierung: 20081001-Fg77/10L/L77g00NP.PDF/.PS BAM-Material: Code=rhatha  
 Anwendung für Beurteilung und Messung von Drucker- oder Monitorssystemen

Ein und Ausgabe: Farbmetrisches Drucker-Reflektiv-System FRS12\_95a, L\*=-20\_95 für relativen CIELAB-Buntton  $h^* = lab^*h^* = h_{ab}/360 = 0.395$   $u^*_d = 100c$   
 Daten für jede Farbe:  
 $lab^*tch^*$  und  $lab^*icu^*$   
 $u^*_d = 100c$   $u^*_e = j71g$   
 Kontrastreduzierungsfaktor:  
 $c_R = 0.9$   
 Dreiecks-Helligkeit  $i^*$



**FRS12\_95a; adaptierte CIELAB-Daten**

	$u^*_d$	$L^*=-L^*_a$	$a^*_a$	$b^*_a$	$C^*_{ab,a}$	$h^*_{ab,a}$
O <sub>Ma</sub>	43.8	53.91	39.75	66.98	36	
Y <sub>Ma</sub>	87.58	-4.65	98.29	98.4	93	
L <sub>Ma</sub>	51.95	-56.34	43.53	71.2	142	
C <sub>Ma</sub>	59.62	-26.2	-28.62	38.8	228	
V <sub>Ma</sub>	25.01	45.2	-52.8	69.51	311	
M <sub>Ma</sub>	45.88	70.67	-29.93	76.75	337	
N <sub>Ma</sub>	20.0	0.0	0.0	0.0	0	
W <sub>Ma</sub>	95.0	0.0	0.0	0.0	0	
O <sub>Ma</sub>	39.92	58.74	27.99	65.07	25	
Y <sub>Ma</sub>	81.26	-2.89	71.56	71.62	92	
L <sub>Ma</sub>	52.23	-42.42	13.6	44.55	162	
V <sub>Ma</sub>	30.57	1.41	-46.47	46.49	272	

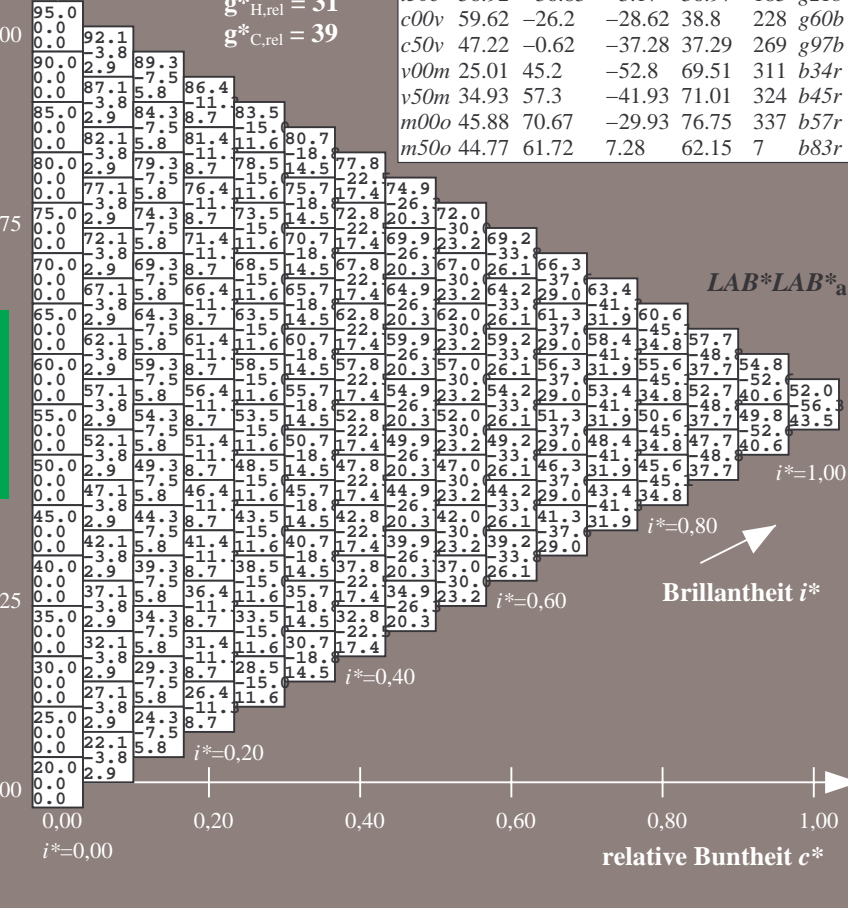
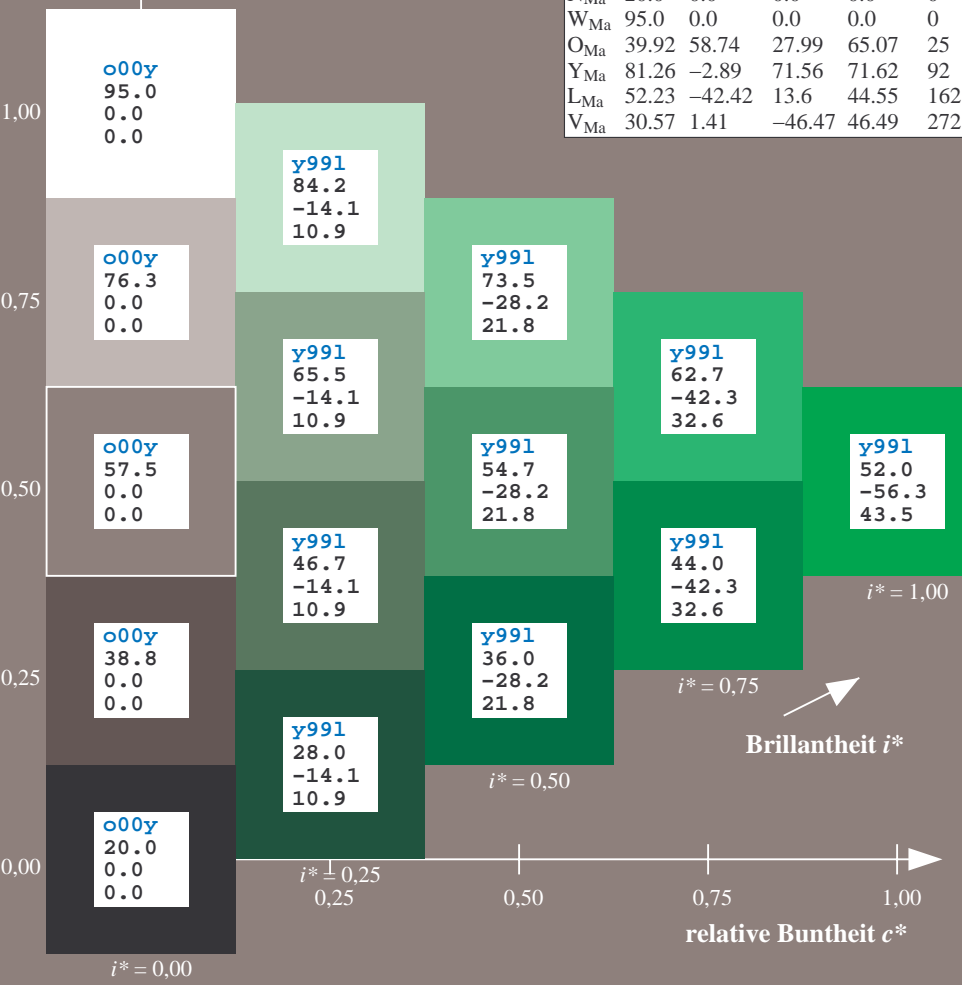
Daten für Maximalfarbe (Ma):

$LAB^*LAB^*_Ma$ : 52 -56 44  
 $LAB^*LCH^*_Ma$ : 52 71 142  
 $lab^*olv^*_Ma$ : 0.0 1.0 0.0  
 $lab^*rgb^*_Ma$ : 0.28 1.0 0.0

**FRS12\_95a; adaptierte CIELAB-Daten**

	$u^*_d$	$L^*=-L^*_a$	$a^*_a$	$b^*_a$	$C^*_{ab,a}$	$h^*_{ab,a}$	$u^*_e$
o00y	43.8	53.91	39.75	66.98	36		r16j
o25y	52.46	42.34	51.32	66.53	60		r37j
o50y	61.53	30.2	63.46	70.28	55		r58j
o75y	72.39	15.68	77.97	79.53	79		r79j
y00l	87.58	-4.65	98.29	98.4	93		j01g
y25l	75.85	-21.67	80.26	83.13	105		j18g
y50l	66.91	-34.64	66.52	75.0	118		j36g
y75l	59.24	-45.77	54.72	71.34	130		j53g
l00c	51.95	-56.34	43.53	71.2	142		j71g
l50c	56.92	-36.83	-3.17	36.97	185		g21b
c00v	59.62	-26.2	-28.62	38.8	228		g60b
c50v	47.22	-0.62	-37.28	37.29	269		g97b
v00m	25.01	45.2	-52.8	69.51	311		b34r
v50m	34.93	57.3	-41.93	71.01	324		b45r
m00o	45.88	70.67	-29.93	76.75	337		b57r
m50o	44.77	61.72	7.28	62.15	7		b83r

Dreiecks-Helligkeit  $i^*$   
 %Umfang  
 $u^*_{rel} = 88$   
 %Regularität  
 $g^*_{H,rel} = 31$   
 $g^*_{C,rel} = 39$



Siehe ähnliche Dateien: <http://www.ps.bam.de/Fg77/>; [www.ps.bam.de/Fg77g00NP.PDF/](http://www.ps.bam.de/Fg77g00NP.PDF/). PS  
 Technische Information: <http://www.ps.bam.de/Version2.1,io=1,1,Colspx=0>

BAM-Registrierung: 20081001-Fg77/10L/L77g00NP.PDF/.PS BAM-Material: Code=rh4ta  
 Anwendung für Beurteilung und Messung von Drucker- oder Monitorssystemen

Ein und Ausgabe: Farbmetrisches Drucker-Reflektiv-System FRS12\_95a, L\*=20\_95 für relativen CIELAB-Buntton  $h^* = lab^*h^* = h_{ab}^*/360 = 0.395$   $u^*_d = 100c$

Daten für jede Farbe:

$lab^*tch^*$  und  $lab^*icu^*$

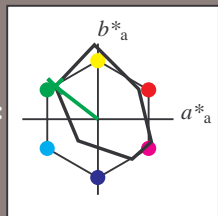
Bunttontexte:

$u^*_d = 100c$   $u^*_e = j71g$

Kontrastreduzierungsfaktor:

$c_R = 0.9$

Dreiecks-Helligkeit  $i^*$



FRS12\_95a; adaptierte CIELAB-Daten

	$u^*_d$	$L^*=L^*_a$	$a^*_a$	$b^*_a$	$C^*_{ab,a}$	$h^*_{ab,a}$
O <sub>Ma</sub>	43.8	53.91	39.75	66.98	36	
Y <sub>Ma</sub>	87.58	-4.65	98.29	98.4	93	
L <sub>Ma</sub>	51.95	-56.34	43.53	71.2	142	
C <sub>Ma</sub>	59.62	-26.2	-28.62	38.8	228	
V <sub>Ma</sub>	25.01	45.2	-52.8	69.51	311	
M <sub>Ma</sub>	45.88	70.67	-29.93	76.75	337	
N <sub>Ma</sub>	20.0	0.0	0.0	0.0	0	
W <sub>Ma</sub>	95.0	0.0	0.0	0.0	0	
O <sub>Ma</sub>	39.92	58.74	27.99	65.07	25	
Y <sub>Ma</sub>	81.26	-2.89	71.56	71.62	92	
L <sub>Ma</sub>	52.23	-42.42	13.6	44.55	162	
V <sub>Ma</sub>	30.57	1.41	-46.47	46.49	272	

Daten für Maximalfarbe (Ma):

$LAB^*LAB^*_{Ma}$ : 52 -56 44

$LAB^*LCH^*_{Ma}$ : 52 71 142

$lab^*olv^*_{Ma}$ : 0.0 1.0 0.0

$lab^*rgb^*_{Ma}$ : 0.28 1.0 0.0

Dreiecks-Helligkeit  $i^*$

%Umfang

$u^*_{rel} = 88$

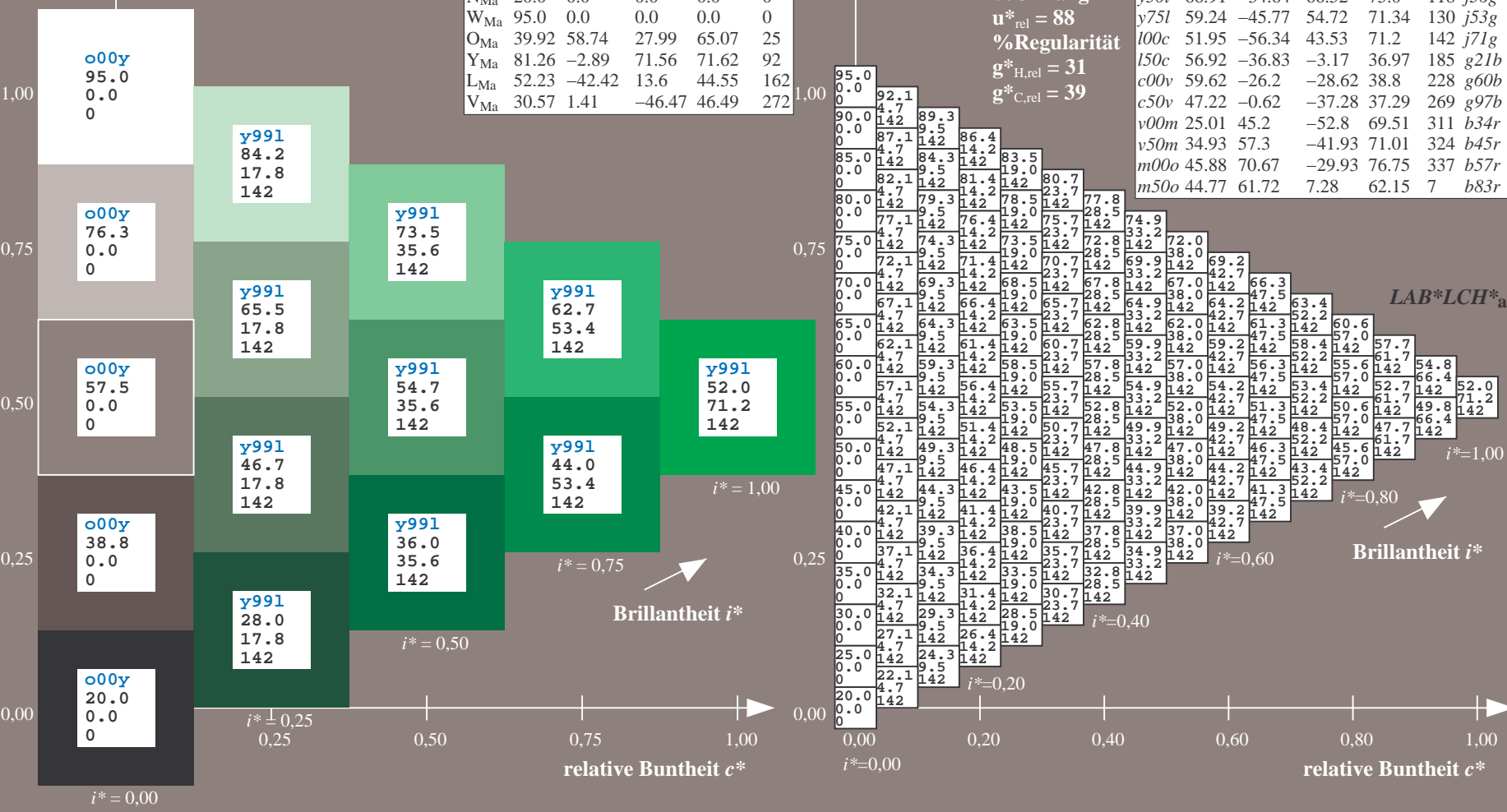
%Regularität

$g^*_{H,rel} = 31$

$g^*_{C,rel} = 39$

FRS12\_95a; adaptierte CIELAB-Daten

	$u^*_d$	$L^*=L^*_a$	$a^*_a$	$b^*_a$	$C^*_{ab,a}$	$h^*_{ab,a}$	$u^*_e$
o00y	43.8	53.91	39.75	66.98	36		r16j
o25y	52.46	42.34	51.32	66.53	50		r37j
o50y	61.53	30.2	63.46	70.28	65		r58j
o75y	72.39	15.68	77.97	79.53	79		r79j
y00l	87.58	-4.65	98.29	98.4	93		j01g
y25l	75.85	-21.67	80.26	83.13	105		j18g
y50l	66.91	-34.64	66.52	75.0	118		j36g
y75l	59.24	-45.77	54.72	71.34	130		j53g
100c	51.95	-56.34	43.53	71.2	142		j71g
l50c	56.92	-36.83	-3.17	36.97	185		g21b
c00v	59.62	-26.2	-28.62	38.8	228		g60b
c50v	47.22	-0.62	-37.28	37.29	269		g97b
v00m	25.01	45.2	-52.8	69.51	311		b34r
v50m	34.93	57.3	-41.93	71.01	324		b45r
m00o	45.88	70.67	-29.93	76.75	337		b57r
m50o	44.77	61.72	7.28	62.15	7		b83r

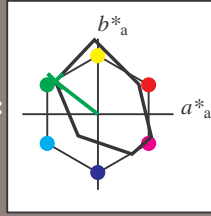


Siehe ähnliche Dateien: <http://www.ps.bam.de/Fg77/>; [www.ps.bam.de/Fg77g00NP.PDF/](http://www.ps.bam.de/Fg77g00NP.PDF/)  
 Technische Information: <http://www.ps.bam.de/Version2.1,io=1,1,ColSpX=0>

BAM-Registrierung: 20081001-Fg77/10L/L77g00NP.PDF/.PS BAM-Material: Code=rh4ta  
 Anwendung für Beurteilung und Messung von Drucker- oder Monitorssystemen

Ein und Ausgabe: Farbmetrisches Drucker-Reflektiv-System FRS12\_95a, L\*=20\_95 für relative CIELAB-Buntton  $h^* = lab^*h^* = h_{ab}/360 = 0.395$   $u^*_d = 100c$   
 $lab^*tch^*$  und  $lab^*icu^*$

Daten für jede Farbe:  
 $lab^*tch^*$  und  $lab^*icu^*$   
 Bunttontexte:  
 $u^*_d = 100c$   $u^*_e = j71g$   
 Kontrastreduzierungsfaktor:  
 $c_R = 0.9$   
 Dreiecks-Helligkeit  $i^*$



FRS12\_95a; adaptierte CIELAB-Daten

	$u^*_d$	$L^*=L^*_a$	$a^*_a$	$b^*_a$	$C^*_{ab,a}$	$h^*_{ab,a}$
O <sub>Ma</sub>	43.8	53.91	39.75	66.98	36	
Y <sub>Ma</sub>	87.58	-4.65	98.29	98.4	93	
L <sub>Ma</sub>	51.95	-56.34	43.53	71.2	142	
C <sub>Ma</sub>	59.62	-26.2	-28.62	38.8	228	
V <sub>Ma</sub>	25.01	45.2	-52.8	69.51	311	
M <sub>Ma</sub>	45.88	70.67	-29.93	76.75	337	
N <sub>Ma</sub>	20.0	0.0	0.0	0.0	0	
W <sub>Ma</sub>	95.0	0.0	0.0	0.0	0	
O <sub>Ma</sub>	39.92	58.74	27.99	65.07	25	
Y <sub>Ma</sub>	81.26	-2.89	71.56	71.62	92	
L <sub>Ma</sub>	52.23	-42.42	13.6	44.55	162	
V <sub>Ma</sub>	30.57	1.41	-46.47	46.49	272	

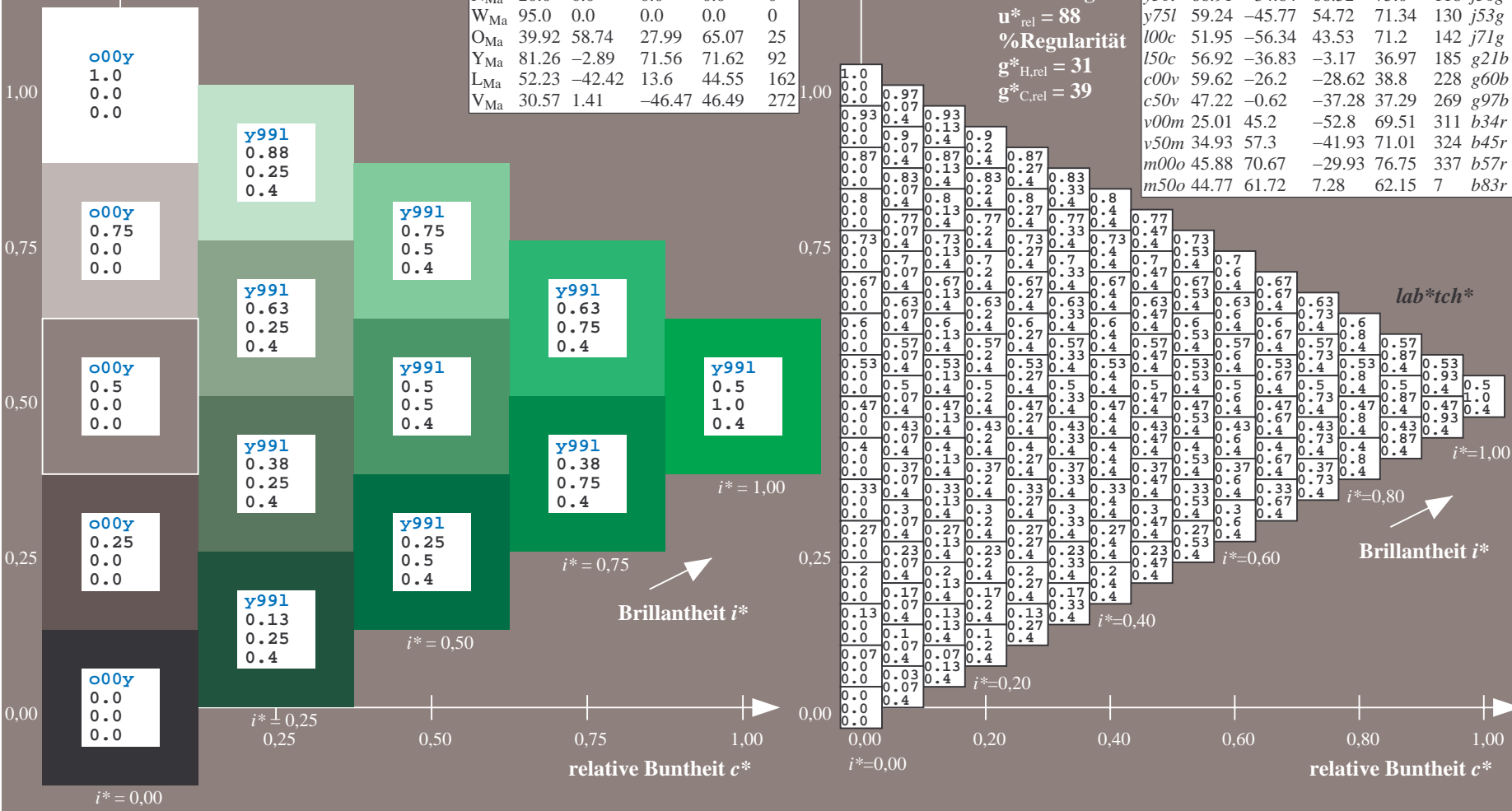
Daten für Maximalfarbe (Ma):

$LAB^*LAB^*_Ma$ : 52 -56 44  
 $LAB^*LCH^*_Ma$ : 52 71 142  
 $lab^*olv^*_Ma$ : 0.0 1.0 0.0  
 $lab^*rgb^*_Ma$ : 0.28 1.0 0.0

FRS12\_95a; adaptierte CIELAB-Daten

	$u^*_d$	$L^*=L^*_a$	$a^*_a$	$b^*_a$	$C^*_{ab,a}$	$h^*_{ab,a}$	$u^*_e$
o00y	43.8	53.91	39.75	66.98	36		r16j
o25y	52.46	42.34	51.32	66.53	60		r37j
o50y	61.53	30.2	63.46	70.28	65		r58j
o75y	72.39	15.68	77.97	79.53	79		r79j
y00l	87.58	-4.65	98.29	98.4	93		j01g
y25l	75.85	-21.67	80.26	83.13	105		j18g
y50l	66.91	-34.64	66.52	75.0	118		j36g
y75l	59.24	-45.77	54.72	71.34	130		j53g
l00c	51.95	-56.34	43.53	71.2	142		j71g
l50c	56.92	-36.83	-3.17	36.97	185		g21b
c00v	59.62	-26.2	-28.62	38.8	228		g60b
c50v	47.22	-0.62	-37.28	37.29	269		g97b
v00m	25.01	45.2	-52.8	69.51	311		b34r
v50m	34.93	57.3	-41.93	71.01	324		b45r
m00o	45.88	70.67	-29.93	76.75	337		b57r
m50o	44.77	61.72	7.28	62.15	7		b83r

Dreiecks-Helligkeit  $i^*$   
 %Umfang  $u^*_{rel} = 88$   
 %Regularität  $g^*_{H,rel} = 31$   
 $g^*_{C,rel} = 39$

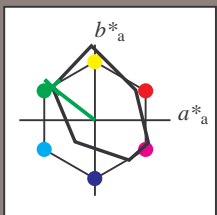


Siehe ähnliche Dateien: <http://www.ps.bam.de/Fg77/>; [www.ps.bam.de/Version 2.1, io=1,1, Colspx=0](http://www.ps.bam.de/Version2.1,io=1,1,Colspx=0)  
 Technische Information: <http://www.ps.bam.de>

BAM-Registrierung: 20081001-Fg77/10L/L77g00NP.PDF/.PS BAM-Material: Code=rhatha  
 Anwendung für Beurteilung und Messung von Drucker- oder Monitorssystemen

Ein und Ausgabe: Farbmetrisches Drucker-Reflektiv-System FRS12\_95a, L\*=20\_95 für relative CIELAB-Buntton  $h^* = lab^*h^* = h_{ab}/360 = 0.395$   $u^*_d = 100c$   
 $lab^*icu^*_e$

Daten für jede Farbe:  
 $lab^*tch^*$  und  $lab^*icu^*$   
 Bunttontexte:  
 $u^*_d = 100c$   $u^*_e = j71g$   
 Kontrastreduzierungsfaktor:  
 $c_R = 0.9$   
 Dreiecks-Helligkeit  $i^*$



FRS12\_95a; adaptierte CIELAB-Daten

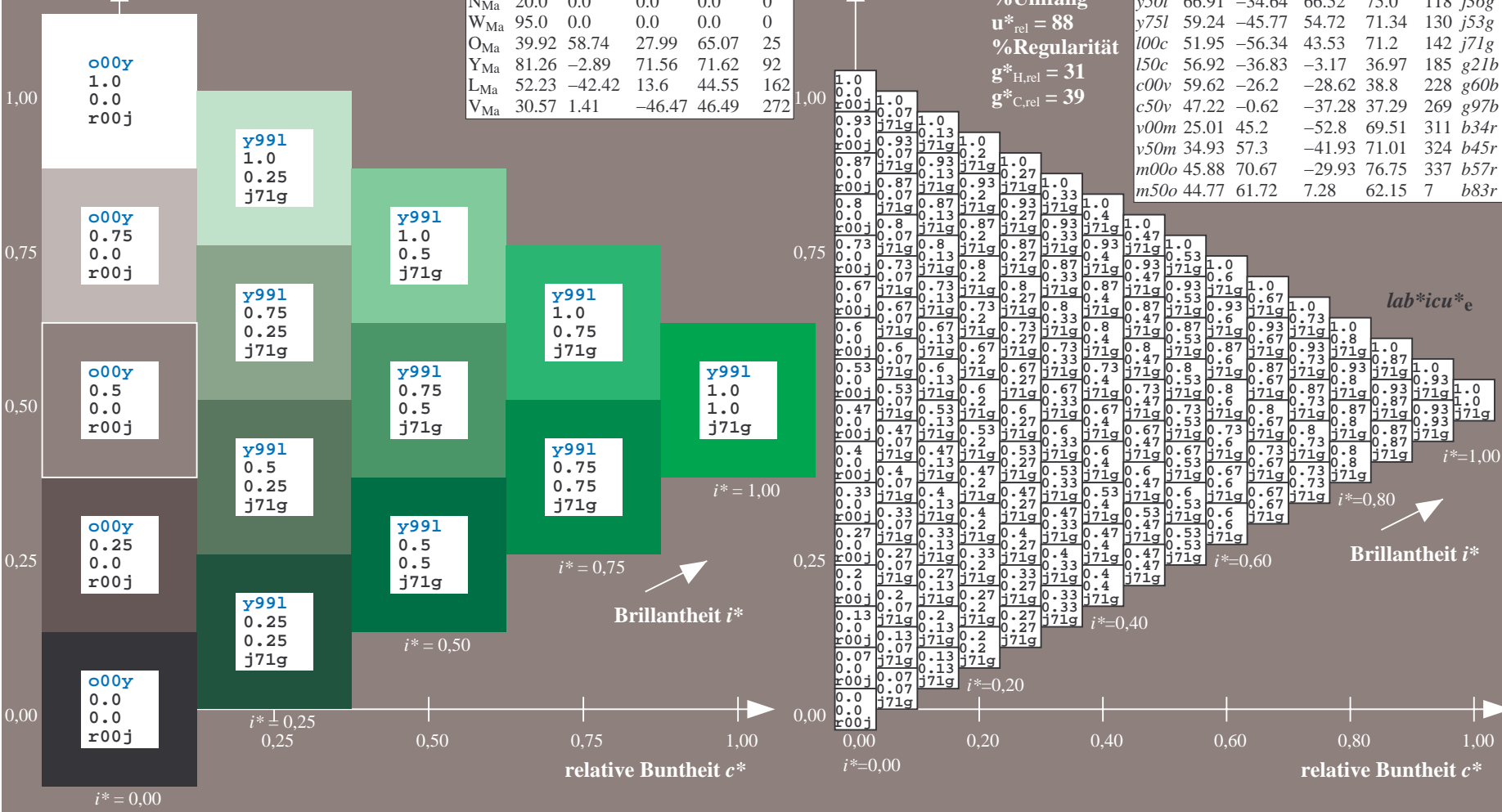
	$u^*_d$	$L^*=L^*_a$	$a^*_a$	$b^*_a$	$C^*_{ab,a}$	$h^*_{ab,a}$
O <sub>Ma</sub>	43.8	53.91	39.75	66.98	36	
Y <sub>Ma</sub>	87.58	-4.65	98.29	98.4	93	
L <sub>Ma</sub>	51.95	-56.34	43.53	71.2	142	
C <sub>Ma</sub>	59.62	-26.2	-28.62	38.8	228	
V <sub>Ma</sub>	25.01	45.2	-52.8	69.51	311	
M <sub>Ma</sub>	45.88	70.67	-29.93	76.75	337	
N <sub>Ma</sub>	20.0	0.0	0.0	0.0	0	
W <sub>Ma</sub>	95.0	0.0	0.0	0.0	0	
O <sub>Ma</sub>	39.92	58.74	27.99	65.07	25	
Y <sub>Ma</sub>	81.26	-2.89	71.56	71.62	92	
L <sub>Ma</sub>	52.23	-42.42	13.6	44.55	162	
V <sub>Ma</sub>	30.57	1.41	-46.47	46.49	272	

Daten für Maximalfarbe (Ma):  
 $LAB^*LAB^*_Ma: 52 -56 44$   
 $LAB^*LCH^*_Ma: 52 71 142$   
 $lab^*olv^*_Ma: 0.0 1.0 0.0$   
 $lab^*rgb^*_Ma: 0.28 1.0 0.0$   
 Dreiecks-Helligkeit  $i^*$

FRS12\_95a; adaptierte CIELAB-Daten

	$u^*_d$	$L^*=L^*_a$	$a^*_a$	$b^*_a$	$C^*_{ab,a}$	$h^*_{ab,a}$	$u^*_e$
o00y	43.8	53.91	39.75	66.98	36		r16j
o25y	52.46	42.34	51.32	66.53	60		r37j
o50y	61.53	30.2	63.46	70.28	55		r58j
o75y	72.39	15.68	77.97	79.53	79		r79j
y00l	87.58	-4.65	98.29	98.4	93		j01g
y25l	75.85	-21.67	80.26	83.13	105		j18g
y50l	66.91	-34.64	66.52	75.0	118		j36g
y75l	59.24	-45.77	54.72	71.34	130		j53g
100c	51.95	-56.34	43.53	71.2	142		j71g
l50c	56.92	-36.83	-3.17	36.97	185		g21b
c00v	59.62	-26.2	-28.62	38.8	228		g60b
c50v	47.22	-0.62	-37.28	37.29	269		g97b
v00m	25.01	45.2	-52.8	69.51	311		b34r
v50m	34.93	57.3	-41.93	71.01	324		b45r
m00o	45.88	70.67	-29.93	76.75	337		b57r
m50o	44.77	61.72	7.28	62.15	7		b83r

%Umfang  
 $u^*_{rel} = 88$   
 %Regularität  
 $g^*_{H,rel} = 31$   
 $g^*_{C,rel} = 39$



Siehe ähnliche Dateien: <http://www.ps.bam.de/Fg77/>; [www.ps.bam.de/Version 2.1, io=1,1, ColSpx=0](http://www.ps.bam.de/Version 2.1, io=1,1, ColSpx=0)  
 Technische Information: <http://www.ps.bam.de>

BAM-Registrierung: 20081001-Fg77/10L/L77g00NP.PDF/.PS BAM-Material: Code=rh4ta  
 Anwendung für Beurteilung und Messung von Drucker- oder Monitorssystemen



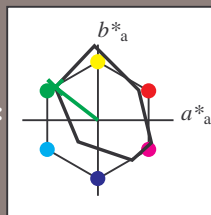
Ein und Ausgabe: Farbmetrisches Drucker-Reflektiv-System FRS12\_95a, L\*=20\_95 für relative CIELAB-Buntton  $h^* = lab^*h^* = h_{ab}/360 = 0.395$   $u^*_d = 100c$

Daten für jede Farbe:  
 $lab^*ch^*$  und  $lab^*icu^*$

Bunttontexte:  
 $u^*_d = 100c$   $u^*_e = j71g$

Kontrastreduzierungsfaktor:  
 $c_R = 0.9$

Dreiecks-Helligkeit  $i^*$



FRS12_95; CIELAB-Daten						
	$u^*_d$	$L^*=L^*_a$	$a^*$	$b^*$	$C^*_{ab}$	$h^*_{ab}$
O <sub>M</sub>	43.8	54.41	32.95	63.61	63.61	31
Y <sub>M</sub>	87.58	-4.04	90.02	90.11	90.11	93
L <sub>M</sub>	51.95	-55.83	36.46	66.68	66.68	147
C <sub>M</sub>	59.62	-25.67	-35.94	44.17	44.17	234
V <sub>M</sub>	25.01	45.64	-58.96	74.57	74.57	308
M <sub>M</sub>	45.88	71.17	-36.79	80.12	80.12	333
N <sub>M</sub>	20.0	0.43	-5.99	6.01	6.01	274
W <sub>M</sub>	95.0	0.62	-8.52	8.54	8.54	274
O <sub>M</sub>	39.92	58.74	27.99	65.07	65.07	25
Y <sub>M</sub>	81.26	-2.89	71.56	71.62	71.62	92
L <sub>M</sub>	52.23	-42.42	13.6	44.55	44.55	162
V <sub>M</sub>	30.57	1.41	-46.47	46.49	46.49	272

Daten für Maximalfarbe (Ma):

$LAB^*LAB^*_Ma: 52 -56 44$

$LAB^*LCH^*_Ma: 52 71 142$

$lab^*olv^*_Ma: 0.0 1.0 0.0$

$lab^*rgb^*_Ma: 0.28 1.0 0.0$

Dreiecks-Helligkeit  $i^*$

%Umfang

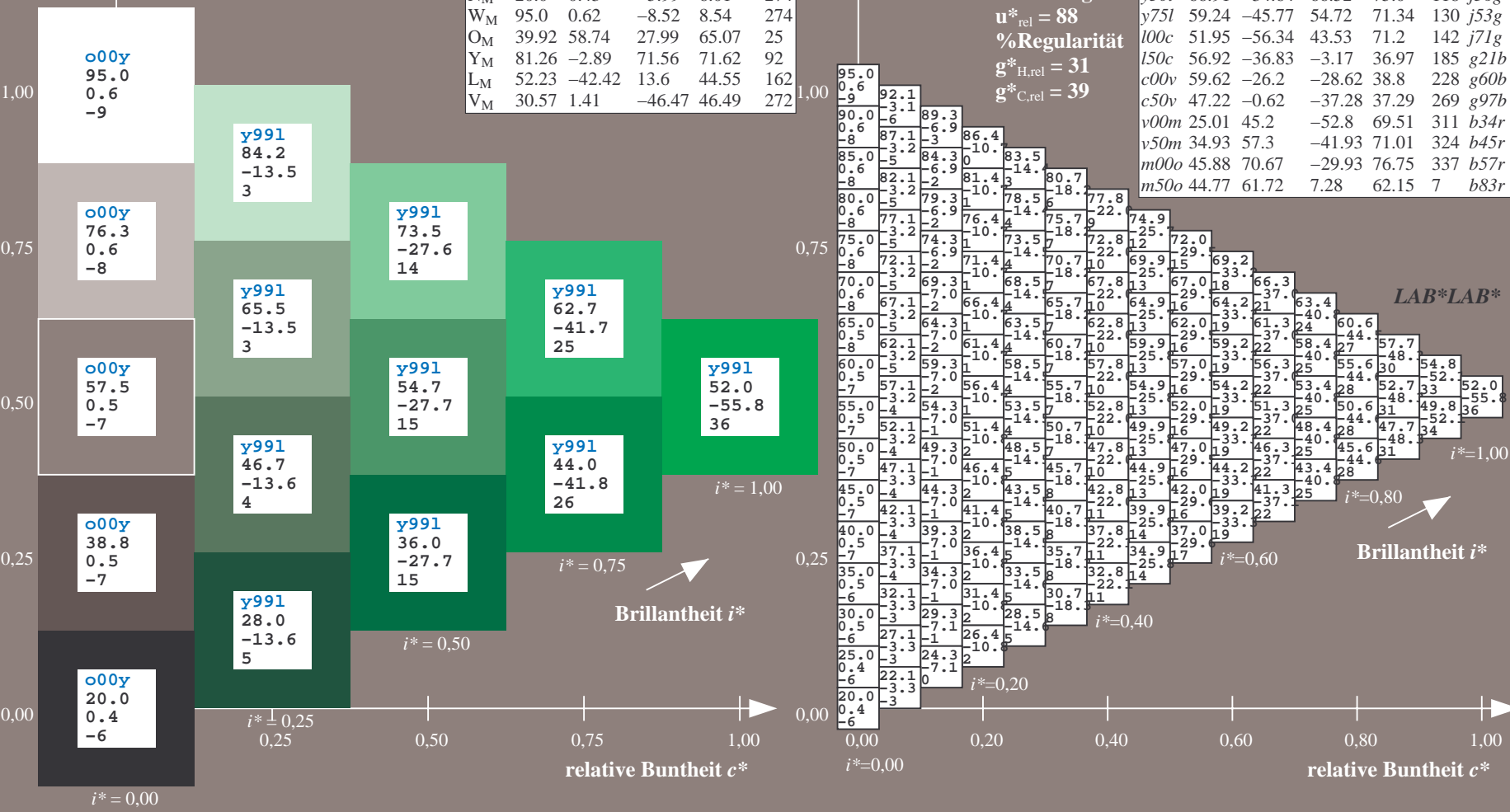
$u^*_{rel} = 88$

%Regularität

$g^*_{H,rel} = 31$

$g^*_{C,rel} = 39$

FRS12_95a; adaptierte CIELAB-Daten									
	$u^*_d$	$L^*=L^*_a$	$a^*_a$	$b^*_a$	$C^*_{ab,a}$	$h^*_{ab,a}$	$u^*_e$		
o00y	43.8	53.91	39.75	66.98	36	r16j			
o25y	52.46	42.34	51.32	66.53	60	r37j			
o50y	61.53	30.2	63.46	70.28	55	r58j			
o75y	72.39	15.68	77.97	79.53	79	r79j			
y00l	87.58	-4.65	98.29	98.4	93	j01g			
y25l	75.85	-21.67	80.26	83.13	105	j18g			
y50l	66.91	-34.64	66.52	75.0	118	j36g			
y75l	59.24	-45.77	54.72	71.34	130	j53g			
l00c	51.95	-56.34	43.53	71.2	142	j71g			
l50c	56.92	-36.83	-3.17	36.97	185	g21b			
c00v	59.62	-26.2	-28.62	38.8	228	g60b			
c50v	47.22	-0.62	-37.28	37.29	269	g97b			
v00m	25.01	45.2	-52.8	69.51	311	b34r			
v50m	34.93	57.3	-41.93	71.01	324	b45r			
m00o	45.88	70.67	-29.93	76.75	337	b57r			
m50o	44.77	61.72	7.28	62.15	7	b83r			



Siehe ähnliche Dateien: <http://www.ps.bam.de/Fg77/>; [www.ps.bam.de/Fg77g00NP.PDF](http://www.ps.bam.de/Fg77g00NP.PDF)  
 Technische Information: <http://www.ps.bam.de/Version2.1,io=1,1,Colspx=0>

BAM-Registrierung: 20081001-Fg77/10L/L77g00NP.PDF/.PS BAM-Material: Code=rhatha  
 Anwendung für Beurteilung und Messung von Drucker- oder Monitorssystemen

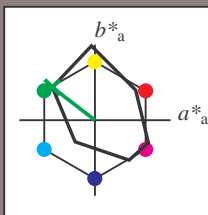
Ein und Ausgabe: Farbmetrisches Drucker-Reflektiv-System FRS12\_95a, L\*=20\_95 für relative CIELAB-Buntton  $h^* = lab^*h^* = h_{ab}/360 = 0.395$   $u^*_d = 100c$   
 $lab^*olv^*$

Daten für jede Farbe:  
 $lab^*tch^*$  und  $lab^*icu^*$

Bunttontexte:  
 $u^*_d = 100c$   $u^*_e = j71g$

Kontrastreduzierungsfaktor:  
 $c_R = 0.9$

Dreiecks-Helligkeit  $i^*$



FRS12_95a; CIELAB-Daten						
	$u^*_d$	$L^*=L^*$	$a^*$	$b^*$	$C^*_{ab}$	$h^*_{ab}$
O <sub>M</sub>	43.8	54.41	32.95	63.61	63.61	31
Y <sub>M</sub>	87.58	-4.04	90.02	90.11	90.11	93
L <sub>M</sub>	51.95	-55.83	36.46	66.68	66.68	147
C <sub>M</sub>	59.62	-25.67	-35.94	44.17	44.17	234
V <sub>M</sub>	25.01	45.64	-58.96	74.57	74.57	308
M <sub>M</sub>	45.88	71.17	-36.79	80.12	80.12	333
N <sub>M</sub>	20.0	0.43	-5.99	6.01	6.01	274
W <sub>M</sub>	95.0	0.62	-8.52	8.54	8.54	274
O <sub>M</sub>	39.92	58.74	27.99	65.07	65.07	25
Y <sub>M</sub>	81.26	-2.89	71.56	71.62	71.62	92
L <sub>M</sub>	52.23	-42.42	13.6	44.55	44.55	162
V <sub>M</sub>	30.57	1.41	-46.47	46.49	46.49	272

Daten für Maximalfarbe (Ma):

$LAB^*LAB^*_{Ma}$ : 52 -56 44

$LAB^*LCH^*_{Ma}$ : 52 71 142

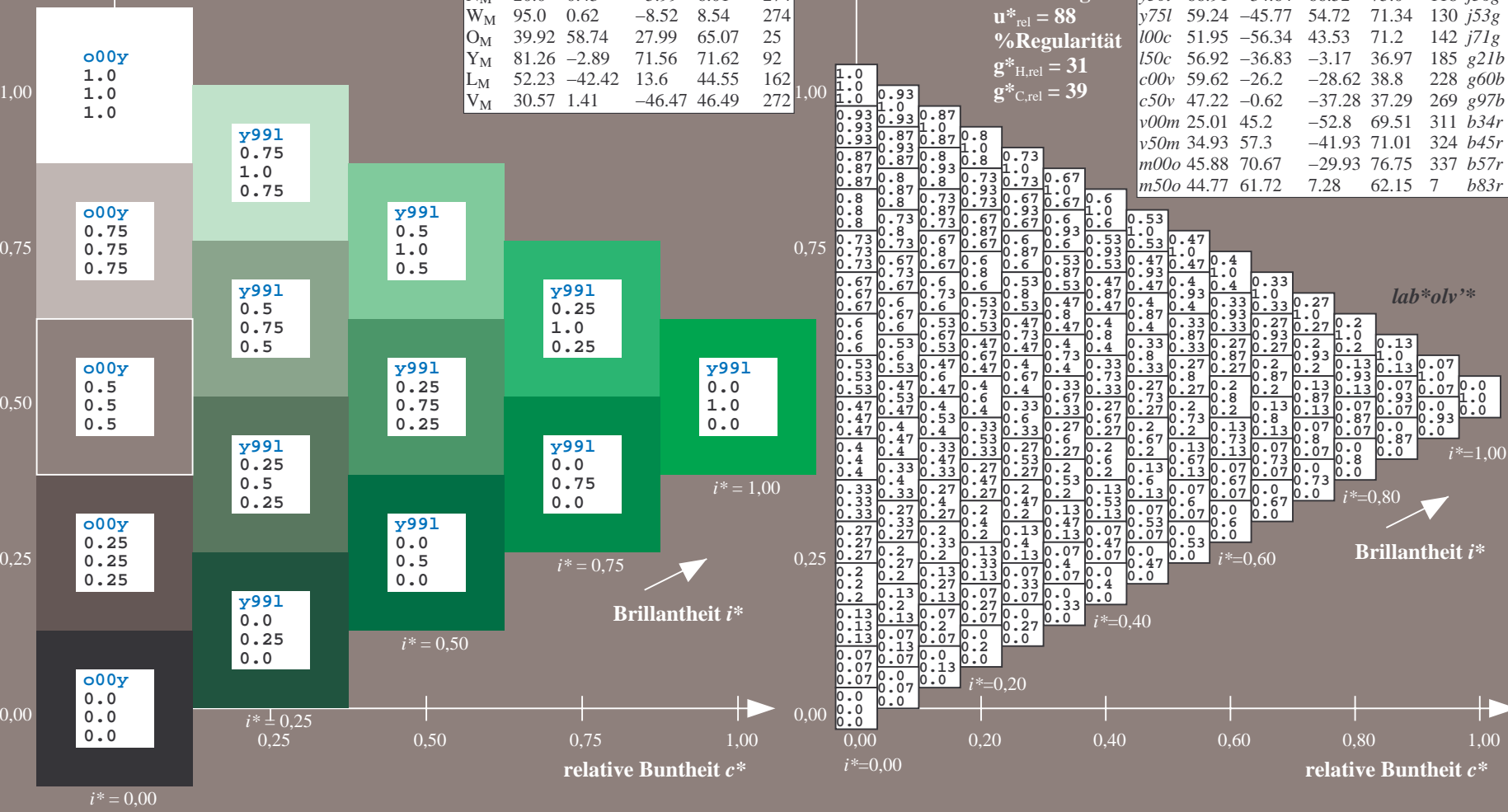
$lab^*olv^*_{Ma}$ : 0.0 1.0 0.0

$lab^*rgb^*_{Ma}$ : 0.28 1.0 0.0

Dreiecks-Helligkeit  $i^*$

%Umfang  
 $u^*_{rel} = 88$   
 %Regularität  
 $g^*_{H,rel} = 31$   
 $g^*_{C,rel} = 39$

FRS12_95a; adaptierte CIELAB-Daten									
	$u^*_d$	$L^*=L^*_a$	$a^*_a$	$b^*_a$	$C^*_{ab,a}$	$h^*_{ab,a}$	$u^*_e$		
o00y	43.8	53.91	39.75	66.98	36	66.98	36	r16j	
a25y	52.46	42.34	51.32	66.53	60	66.53	60	r37j	
a50y	61.53	30.2	63.46	70.28	65	70.28	65	r58j	
a75y	72.39	15.68	77.97	79.53	79	79.53	79	r79j	
y00l	87.58	-4.65	98.29	98.4	93	98.4	93	j01g	
y25l	75.85	-21.67	80.26	83.13	105	83.13	105	j18g	
y50l	66.91	-34.64	66.52	75.0	118	75.0	118	j36g	
y75l	59.24	-45.77	54.72	71.34	130	71.34	130	j53g	
l00c	51.95	-56.34	43.53	71.2	142	71.2	142	j71g	
l50c	56.92	-36.83	-3.17	36.97	185	36.97	185	g21b	
c00v	59.62	-26.2	-28.62	38.8	228	38.8	228	g60b	
c50v	47.22	-0.62	-37.28	37.29	269	37.29	269	g97b	
v00m	25.01	45.2	-52.8	69.51	311	69.51	311	b34r	
v50m	34.93	57.3	-41.93	71.01	324	71.01	324	b45r	
m00o	45.88	70.67	-29.93	76.75	337	76.75	337	b57r	
m50o	44.77	61.72	7.28	62.15	7	62.15	7	b83r	

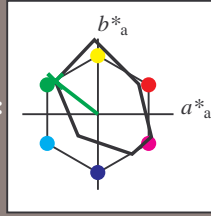


Siehe ähnliche Dateien: <http://www.ps.bam.de/Fg77/>; [www.ps.bam.de/Fg77g00NP.PDF/](http://www.ps.bam.de/Fg77g00NP.PDF/)  
 Technische Information: <http://www.ps.bam.de/Version2.1,io=1,1,Colspx=0>

BAM-Registrierung: 20081001-Fg77/10L/L77g00NP.PDF/.PS BAM-Material: Code=rhatha  
 Anwendung für Beurteilung und Messung von Drucker- oder Monitorssystemen

Ein und Ausgabe: Farbmetrisches Drucker-Reflektiv-System FRS12\_95a, L\*=20\_95 für relative CIELAB-Buntton  $h^* = lab^*h^* = h_{ab}/360 = 0.395$   $u^*_d = 100c$   
 Daten für jede Farbe:  $lab^*tch^*$  und  $lab^*icu^*$   $LAB^*cmyn^*$

Bunttontexte:  
 $u^*_d = 100c$   $u^*_e = j71g$   
 Kontrastreduzierungsfaktor:  
 $c_R = 0.9$   
 Dreiecks-Helligkeit  $i^*$



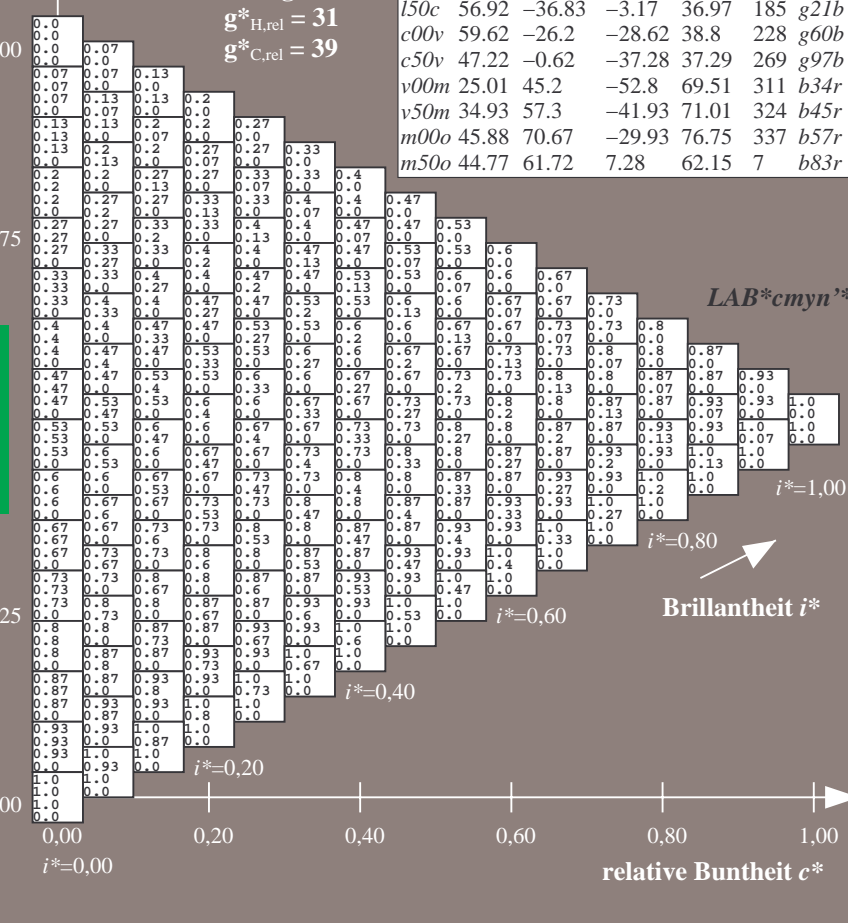
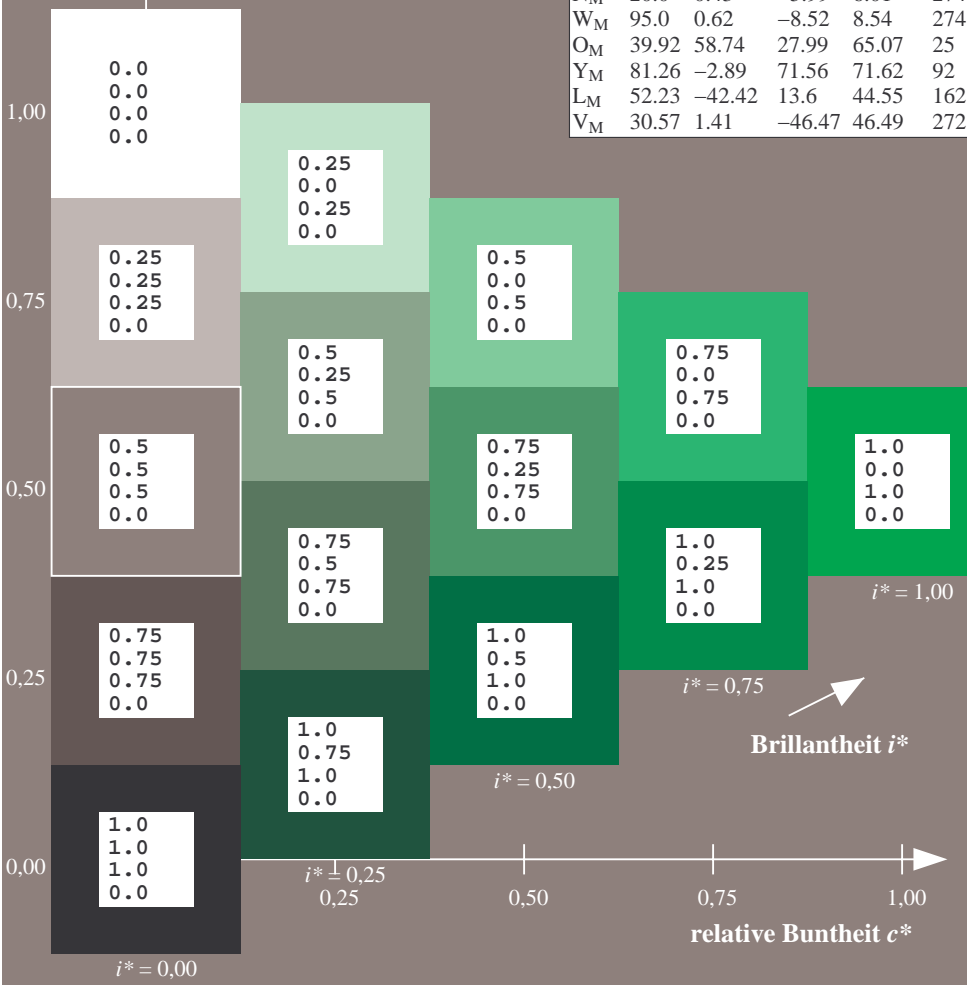
FRS12_95a; CIELAB-Daten						
	$u^*_d$	$L^*=L^*_a$	$a^*$	$b^*$	$C^*_{ab}$	$h^*_{ab}$
O <sub>M</sub>	43.8	54.41	32.95	63.61	31	
Y <sub>M</sub>	87.58	-4.04	90.02	90.11	93	
L <sub>M</sub>	51.95	-55.83	36.46	66.68	147	
C <sub>M</sub>	59.62	-25.67	-35.94	44.17	234	
V <sub>M</sub>	25.01	45.64	-58.96	74.57	308	
M <sub>M</sub>	45.88	71.17	-36.79	80.12	333	
W <sub>M</sub>	20.0	0.43	-5.99	6.01	274	
N <sub>M</sub>	95.0	0.62	-8.52	8.54	274	
O <sub>M</sub>	39.92	58.74	27.99	65.07	25	
Y <sub>M</sub>	81.26	-2.89	71.56	71.62	92	
L <sub>M</sub>	52.23	-42.42	13.6	44.55	162	
V <sub>M</sub>	30.57	1.41	-46.47	46.49	272	

Daten für Maximalfarbe (Ma):

$LAB^*LAB^*_Ma$ : 52 -56 44  
 $LAB^*LCH^*_Ma$ : 52 71 142  
 $lab^*olv^*_Ma$ : 0.0 1.0 0.0  
 $lab^*rgb^*_Ma$ : 0.28 1.0 0.0

Dreiecks-Helligkeit  $i^*$   
 %Umfang  
 $u^*_{rel} = 88$   
 %Regularität  
 $g^*_{H,rel} = 31$   
 $g^*_{C,rel} = 39$

FRS12_95a; adaptierte CIELAB-Daten									
	$u^*_d$	$L^*=L^*_a$	$a^*_a$	$b^*_a$	$C^*_{ab,a}$	$h^*_{ab,a}$	$u^*_e$		
o00y	43.8	53.91	39.75	66.98	36				r16j
o25y	52.46	42.34	51.32	66.53	60				r37j
o50y	61.53	30.2	63.46	70.28	65				r58j
o75y	72.39	15.68	77.97	79.53	79				r79j
y00l	87.58	-4.65	98.29	98.4	93				j01g
y25l	75.85	-21.67	80.26	83.13	105				j18g
y50l	66.91	-34.64	66.52	75.0	118				j36g
y75l	59.24	-45.77	54.72	71.34	130				j53g
l00c	51.95	-56.34	43.53	71.2	142				j71g
l50c	56.92	-36.83	-3.17	36.97	185				g21b
c00v	59.62	-26.2	-28.62	38.8	228				g60b
c50v	47.22	-0.62	-37.28	37.29	269				g97b
v00m	25.01	45.2	-52.8	69.51	311				b34r
v50m	34.93	57.3	-41.93	71.01	324				b45r
m00o	45.88	70.67	-29.93	76.75	337				b57r
m50o	44.77	61.72	7.28	62.15	7				b83r



Siehe ähnliche Dateien: <http://www.ps.bam.de/Fg77/>; [www.ps.bam.de/Fg77g00NP.PDF/](http://www.ps.bam.de/Fg77g00NP.PDF/). PS  
 Technische Information: <http://www.ps.bam.de/Version2.1,io=1,1,Colspx=0>

BAM-Registrierung: 20081001-Fg77/10L/L77g00NP.PDF/.PS BAM-Material: Code=rhatha  
 Anwendung für Beurteilung und Messung von Drucker- oder Monitorssystemen